

## ГЛАВА 5. МЕЛКОВОДНЫЙ КОНОДОНТ *CTENOGNATHODUS MURCHISONI* (ПОЗДНИЙ ВЕНЛОК ЭСТОНИИ)

При изучении распределения силурийских конодонтов Эстонии в отложениях роотсикюласского горизонта обнаружен своеобразный комплекс конодонтов, характерной составной частью которого является спатогнатодусовый элемент мультивида *Ctenognathodus murchisoni*\* (= *Spathognathodus murchisoni*, Вийра, 1977). Обработка обширного материала с о. Сааремаа выявила четкую стратиграфическую приуроченность и значительную горизонтальную протяженность этого комплекса, что позволило выделить *S. murchisoni* в качестве местного зонального вида (Вийра, 1977; Кальо, 1977а).

В настоящей работе попытаемся определить фациальное положение и стратиграфическую значимость мультивида *Ctenognathodus murchisoni* и обосновать его таксономическую самостоятельность.

Вид *Ctenognathus* (= *Ctenognathodus*) *murchisoni* назван Х. Пандером в 1856 г. в его знаменитой работе в числе самых первых конодонтов (Pander, 1856). Описание дано очень сжатое, в качестве местонахождения указаны Роотсикюла (Rootsikülle) и Сандла (Sandel), причем изображенные на рисунках экземпляры происходят из Роотсикюла. Почти через 100 лет *C. murchisoni* был вновь описан В. Гроссом по материалу из обнажения Везику (Wessiko) о. Сааремаа, взятому из куска породы, переполненной чешуями *Thelodus* (Gross, 1954). В. Гросс дал детальную характеристику вида вместе с подробным описанием микроструктуры листа и изображениями конодонта. Он выделил также неотип вида, ибо коллекция Х. Пандера не сохранилась. Этими двумя работами и ограничиваются сведения об указанном конодонте.

Наш материал происходит из обнажений и ряда буровых скважин роотсикюласского горизонта о. Сааремаа. Их расположение показано на рис. 5.1. Конодонты многих буровых разрезов отобраны из проб, растворенных Тийу Мярсс на телодонты. Литологические колонки скважин составлены Р. Эйнасто.

### Стратиграфия

*Ctenognathodus murchisoni* обнаружен в отложениях роотсикюласского горизонта ( $K_1$ ), который составляет самые верхи венлоха на уровне граптолитовых зон *lundgreni* (верхи) и *ludensis* (Кальо, 1979). Отложения роотсикюласского горизонта в районе его распространения (Прибалтийский бассейн) различаются существенно по литологическому и палеонтологическому составу (Кальо, Юргенсон, 1977; Кальо, 1979). На о. Сааремаа, где его мощность составляет 30 – 50 м, он отличается специфическим литологическим обликом и своеобразной фаунулой, в которой домини-

\* Конодонты в данной работе определены по мультиэлементной таксономии. Формальные названия конодонтов см. в объяснении к рис. 5.2.

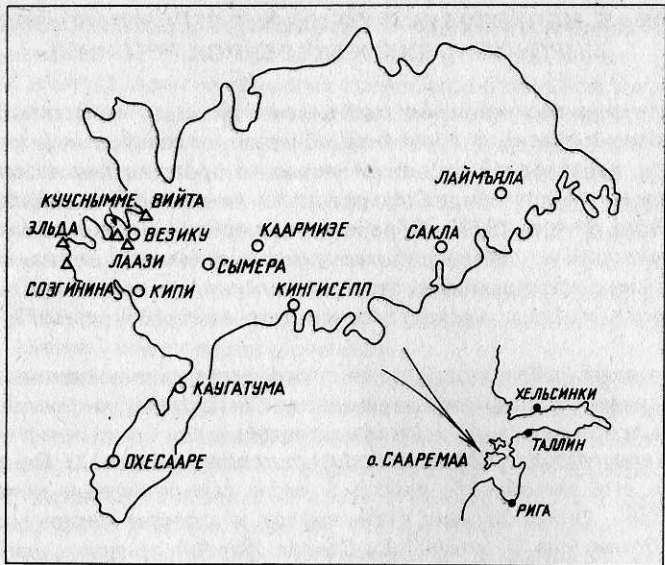


Рис. 5.1. Схема расположения изученных обнажений ( $\blacktriangle$ ) и буровых скважин (O) на о. Сааремаа.

рут эврилтериды и остатки бесчелюстных (Эйнасто, 1968, 1970, 1979). Согласно фациальной модели силурийского Палеобалтийского бассейна, отложения горизонта принадлежат к лагунной и отмельной фациальным зонам (Нестор, Эйнасто, 1977). Они образовались на прибрежных тиховодных равнинах и в лагунах или в зоне волнения в поясе отмелей, нередко в крайне мелководной среде, распространившейся в роотсикюласское время в районе о. Сааремаа и к югу от него. Лито- и циклостратиграфические горизонт подразделен (Эйнасто, 1970) на 4 слоя (снизу вверх): вийтаские слои ( $K_1Vt$ ), куусниммские ( $K_1Kn$ ), везикусские ( $K_1Vs$ ) и соэгининские ( $K_1Sn$ ).

#### Распределение конодонтов

Нами изучены конодонты из наиболее важных обнажений роотсикюласского горизонта, полученные результаты приведены в таблице 5.1. Названия конодонтов в данной статье даны по мультиэлементной таксономии. Названия формальных видов, составляющих эти мультитаксоны, указаны в объяснении к рисунку 5.2. Ниже приводятся некоторые замечания к таблице 5.1. В пробе из местонахождения Вийта (шурф) количественно преобладает *Ozarkodina confluens* (в том числе Pb – элемент = *Spathognathodus primus densidentatus*) при единичных экземплярах *Cteno-*

Таблица 5.1.

Обзор материала из обнажений роотсикюласского горизонта  
Synopsis of the conodont material from the localities of the Rootsiküla Stage

Место-нахождение	Стратиграфическое положение	Вес пробы, г	Литологическая характеристика	Конодонты и их количество	
				Вийта	Кууснимме
Вийта	$K_1Vt$	4000	Сгустково-бломорфный известняк	<i>Ozarkodina confluens</i> <i>O. excavata</i> <i>O. sagitta bohemica</i> <i>Oulodus siluricus</i> <i>Stenognathodus murchisoni</i>	
Паписааре	$K_1Vt$	2715	Известковый доломит	<i>O. confluens</i> <i>O. confertus</i>	Pb 4 экз.
Кууснимме	$K_1Kn$	580	Коралловый доломит	<i>C. murchisoni</i>	5 экз.
Эльда	$K_1Kn$			<i>O. sagitta bohemica</i> <i>O. confertus</i>	
Везику	$K_1Vs$	1660	Скрытокристаллический известняк	<i>C. murchisoni</i>	29 экз.
		1770	Эврилтеровый доломит	<i>O. confertus</i>	3 экз.
		3850	Известняк с чешуями агната	<i>C. murchisoni</i>	2 экз.
Лаази	$K_1Vs$	3700	Сгустковый остракодовый известняк	<i>O. confluens</i> <i>C. murchisoni</i>	50 экз.
Соэгинина	$K_1Sn$	8450	Скрытокристаллический известняк и эврилтеровый доломит	<i>C. murchisoni</i>	1 экз.
					20 экз.
					<i>C. murchisoni</i> <i>Spathognathodus sp. S (Pb)</i>

*gnathodus murchisoni*. Комплекс обнажения Вийта установлен в разрезе скв. Охесааре на глубине 142,25 – 145,50 м (Вийра, 1977). Обнажение Везикузы заслуживает внимания не только как стратотипическое для везикусских слоев, но еще и потому, что отсюда происходят описанные В. Гроссом экземпляры *C. murchisoni*, которые по сути являются оригинальным материалом для данного вида (Gross, 1954).

Распределение конодонтов в изученных скважинах приведено на рис. 5.2 и 5.3, тогда как распределение конодонтов в скважинах Охесааре и Сакла рассмотрено в отдельных статьях (Вийра, 1977).

Ниже дается обзор распространения конодонтов в роотсикюласком горизонте, который иллюстрируется конодонтами на рис. 5.4.

В вайтаских слоях встречаются конодонты, появившиеся уже в верхах яагараахусского горизонта: *O. confluens*, *O. excavata*, *Oulodus siluricensis*, а также характерные для вайтаских слоев *O. sagitta bohemica* и *O. confluens* (Pb-элемент = *Spathognathodus primus densidentatus*). Кроме того, в двух скважинах, Охесааре (глуб. 145,55 м) на юго-западе и Лаймъяла (глуб. 17,6 м) на востоке о. Сааремаа, найден *Spathognathodus aff. murchisoni* (Pb-элемент), который, по всей вероятности является самостоятельным видом и не может быть определен в качестве *S. murchisoni*, как это было сделано при изучении конодонтов скв. Охесааре (Вийра, 1970, 1977). Один экземпляр *S. aff. murchisoni* обнаружен в скв. Кихну, глуб. 107,6 м. Наиболее восточное и южное местонахождение *S. aff. murchisoni* могут указывать на связь с определенными фациальными условиями (саклаская пачка), но немногочисленность находок этих конодонтов не позволяет с уверенностью говорить об этом. В верхней половине вайтаских слоев в некоторых разрезах появляется также *C. murchisoni*, что вполне определенно указывает на уровень его первого появления в разрезе. В скважинах Каугатума, Кингисепп и Кипи *C. murchisoni* в этих слоях не найден, однако это может быть отчасти результатом обработки мелких проб.

В куусыммеких слоях ( $K_1Kn$ ) *C. murchisoni* выявлен во всех изученных скважинах и разрезах, а *O. confluens* – только в некоторых из них. В трех западных разрезах встречается также *O. excavata*. На самом западе о. Сааремаа (скв. Везику, обн. Эльда) обнаружен *O. sagitta bohemica*, который там переходит также в везикусские слои. Столь высокое стратиграфическое положение данного вида по сравнению с имеющимися до сих пор данными (вайтаские слои, Вийра, 1977) является нормальным, ибо верхним пределом распространения зоны *sagitta* стандартной схемы является нижний лудлов (Walliser, 1971; Aldridge, 1975). Ограниченнное распространение *O. sagitta bohemica* в верхневенлокских отложениях изученного района является скорее всего лишь результатом фациальной обстановки.

Везикусские слои ( $K_1Vs$ ) характеризуются преобладанием *C. murchisoni*, часто довольно значительным (везикусская ассоциация, Вийра, 1977). В нижней части слоев встречается также *O. confluens* (Pb-элемент = *Spathognathodus primus retroversus*) и в западных разрезах – *O. excavata*. В верхней части слоев встречается только *C. murchisoni*, если

не считать *Spathognathodus sp. S* в скв. Сымера, который в вышележащих слоях ( $K_1Sn$ ) становится более частым.

В соэгининаских слоях продолжают встречаться элементы *C. murchisoni*, но наряду с ним снова появляются *O. confluens* и *O. excavata*. Характерным можно считать присутствие вышеназванного *Spathognathodus sp. S*.

Исходя из сопоставления обстановки роотсикюлаского времени и распределения конодонтов (рис. 5.2, 5.3, 5.5) можно сделать некоторые выводы об их фациальной приуроченности. Роотсикюлаские конодонты все связаны с мелководными фациями лагунной и отмельной зоны. Более богатый комплекс связан с отмельной зоной и с фациями густковых, олиготочных и сортированно-детритовых известняков (по фациальной типизации Нестор, Эйнасто, 1977) в нижних частях вайтаских и везикусских слоев, а также в созгининаских слоях. Здесь присутствуют в основном различные представители *Ozarkodina* – *O. confluens*, *O. excavata*, *O. sagitta bohemica*. В поздневайтаское время, когда начали распространяться фации лагунной зоны, появляется *C. murchisoni*, который и при последующем углублении моря в нижневезикусское время продолжает встречаться вместе с *O. confluens*. Верхняя половина везикусских слоев относится ко времени широкого распространения мелководных ненормально-морских отложений каарманского комплекса – времени прибрежных лагун и накопления тиховодных доломитовых илов (Эйнасто, 1979). Как видно из рис. 5.5, в это время господствовал один *Ctenognathodus murchisoni*. Поэтому можно предположить, что он является представителем лагунной зоны. Но утверждать, что *C. murchisoni* распространен во всей лагунной зоне, нельзя, ибо при детальном сопоставлении мест взятия проб и характера породы видим, что наиболее благоприятными являются фация тонкочередующихся эвтриптеровых доломитов и микрокристаллических известняков и фация глинистых доломитово-известковых биотурбитидов. Фация эвриптеровых доломитов содержит конодонты, хотя и весьма немногочисленные. Фации узорчатых доломитов и ламинарных глинистых доломитов не содержат конодонтов.

Из вышеизложенного можем заключить, что *C. murchisoni* является наиболее прибрежным из всего изученного комплекса конодонтов. Следующим в сторону моря является *O. confluens*.

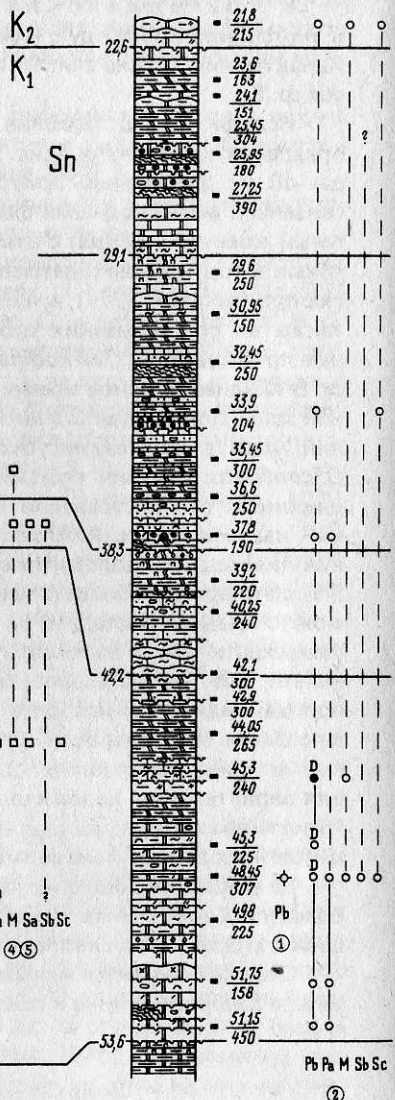
Отсюда становится ясным, почему *C. murchisoni* имеет столь ограниченное распространение и пока в других регионах не обнаружен.

### Зона *Ctenognathodus murchisoni*

Биозона *C. murchisoni* является местной зоной, она охватывает большую часть роотсикюлаского горизонта на о. Сааремаа. Нижняя граница зоны проходит на уровне первого появления *C. murchisoni* в верхней половине вайтаских слоев. Верхняя граница определяется исчезновением *C. murchisoni* в самых верхах созгининаских слоев. В пределах зоны встречаются *Ozarkodina confluens*, *O. excavata* и *Oulodus siluricus*. *Ozarkodina sa-*

## КИПИ

## KIPPI

ВЕЗИКУ 507  
VESIKU 507

Vs

Kn

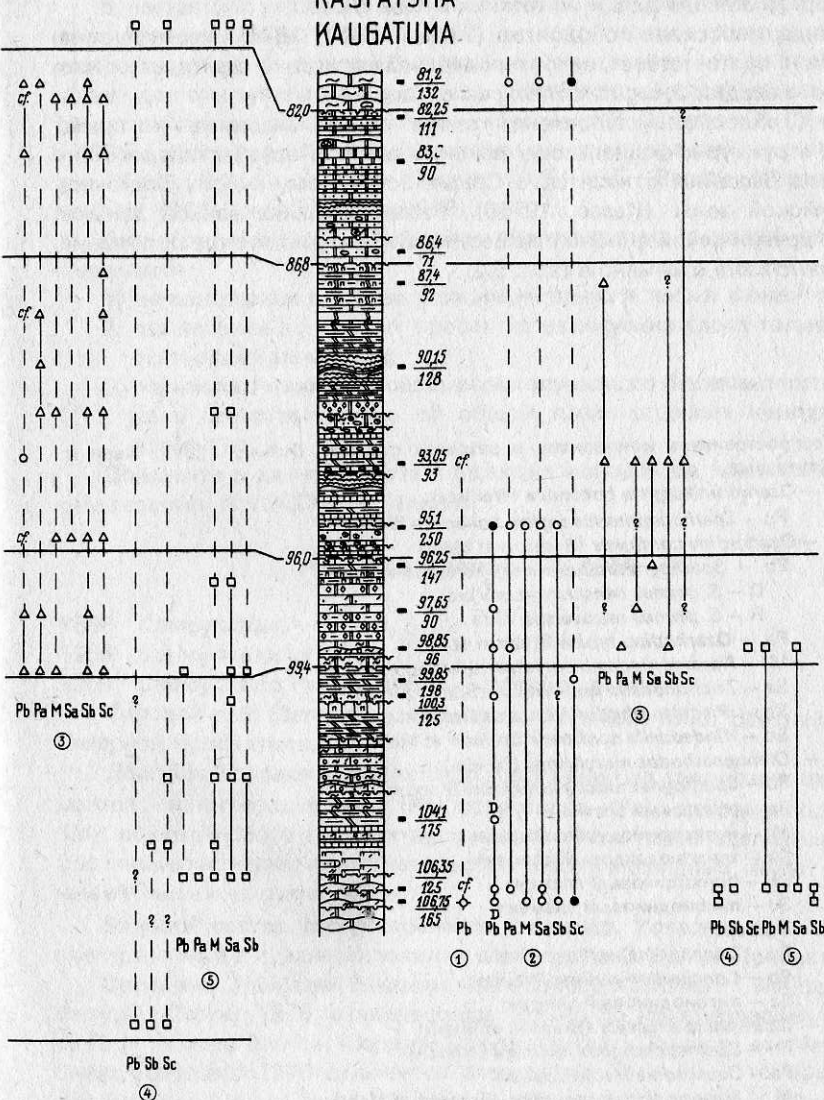
Vt

K1

J2

## КАУГАТУМА

## KAUBATUMA



*gitta bohemica* определен из вийтаских, куусныммских и везикусских слоев, *O. confluens* (Pb = *Spathognathodus primus retroversus*) – из везикусских и *Spathognathodus* sp. S – из соэгининаских слоев.

В стандартной схеме конодонтов (Walliser, 1964, 1971) местная зона *C. murchisoni* соответствует, вероятно, верхней части зоны *sagitta*, на что указывают находки *O. sagitta bohemica* с о. Сааремаа.

Зона *C. murchisoni* установлена только на о. Сааремаа, который, согласно структурно-фациальному районированию Палеобалтийского силурийского бассейна, относится к Средне-Эстонскому району Восточно-Прибалтийской зоны (Кальо, 1975б). Распространение данной зоны в пределах других районов пока неизвестно. Стратиграфическое положение зоны *C. murchisoni* отражено в табл. 5.2.

← Рис. 5.2. Распространение конодонтов в разрезах скважин Везику (507), Кипи и Каугатума.

1 – *Ozarkodina sagitta bohemica* (Walliser):

Pb – *Spathognathodus sagitta bohemica* Walliser

2 – *Ozarkodina confluens* (Branson et Mehl):

Pb – *Spathognathodus primus* (Branson et Mehl)

D – *S. primus densidentatus* Viira

R – *S. primus retroversus* Viira

Pa – *Ozarkodina typica* Branson et Mehl

M – *Neopriioniodus bicurvatus* (Branson et Mehl)

Sa – *Trichonodella symmetrica* (Branson et Mehl)

Sb – *Plectospathodus flexuosus* Branson et Mehl

Sc – *Hindeodella confluens* Branson et Mehl

3 – *Ctenognathodus murchisoni* (Pander):

Pb – *Spathognathodus murchisoni* (Pander)

Pa – ортусовый элемент

M – неоприониодусовый элемент

Sa – трихоноделловый элемент

Sb – лонходинновый элемент

Sc – лигоидинновый элемент

4 – *Oulodus*:

Pb – *Lonchodina walliseri* Ziegler

Sb – *Lonchodina greilingi* Walliser

Sc – лигоидинновый элемент

5 – *Ozarkodina excavata* (Branson et Mehl):

Pb – *Spathognathodus inclinata* (Rhodes)

Pa – *Ozarkodina media* Walliser

M – *Neopriioniodus excavatus* (Branson et Mehl)

Sa – *Trichonodella excavata* (Branson et Mehl)

Sb – *Plectospathodus extensus* Rhodes

cf – недостоверное определение

Условные обозначения: пустые значки (кружочки, треугольники и т.д.) – в пробе 1 – 5 экз., заполненные значки – 5 – 30 экз., заполненные значки с обрамлением – более 30 экз. Правее от разреза указаны места взятия проб, глубина пробы (числитель) и вес в граммах (знаменатель). Условные обозначения к разрезам см. на рис. 5.3.

## Описание

В настоящей работе описание материала производится по мультиэлементной таксономии. В последние годы такой подход получил широкое распространение среди исследователей, и нам кажется, что он вполне применим для описываемого конодонта. Для обозначения отдельных элементов используются символы, впервые введенные В. Свитом и Х. Шенлаубом в 1975 г. и получившие применение при описании силурийских мультивидов (Sweet, Schönlaub, 1975; Cooper, 1975, 1977; Barrick, Klapper, 1976; Helfrich, 1978; Lane, Ormiston, 1979).

Реконструирование мультиэлементного аппарата в данной работе основывается:

- 1) на повторении в пробах ассоциаций одних и тех же элементов;
- 2) на наличии во многих пробах из везикусских слоев только одной ассоциации элементов;
- 3) на вполне хорошем совпадении получаемого 6-элементного аппарата с представлениями об общем плане строения конодонтовых аппаратов.

Описанная в данной работе коллекция конодонтов хранится в Институте геологии АН ЭССР в г. Таллине.

## Род *Ctenognathodus* Fay, 1959

1856 *Ctenognathus* – Pander, S. 32

1959 *Ctenognathodus* – Fay, p. 195

1959 *Ctenognathus* Pander, 1856 – Lindström, p. 438.

Типовой вид: *Ctenognathus murchisoni* Pander, 1856. Верхний венлок Северной Прибалтики.

Диагноз. Конодонтовый аппарат, состоящий из следующих шести элементов: спатогнатодусового (Pb), ортусового (Pa), неоприониодусового (M), лонходиннового (Sb), лигондиннового (Sc) и трихоноделлового (Sa). Все элементы, кроме спатогнатодусового, стержневидные, имеют раздельные зубчики и высокий зубец.

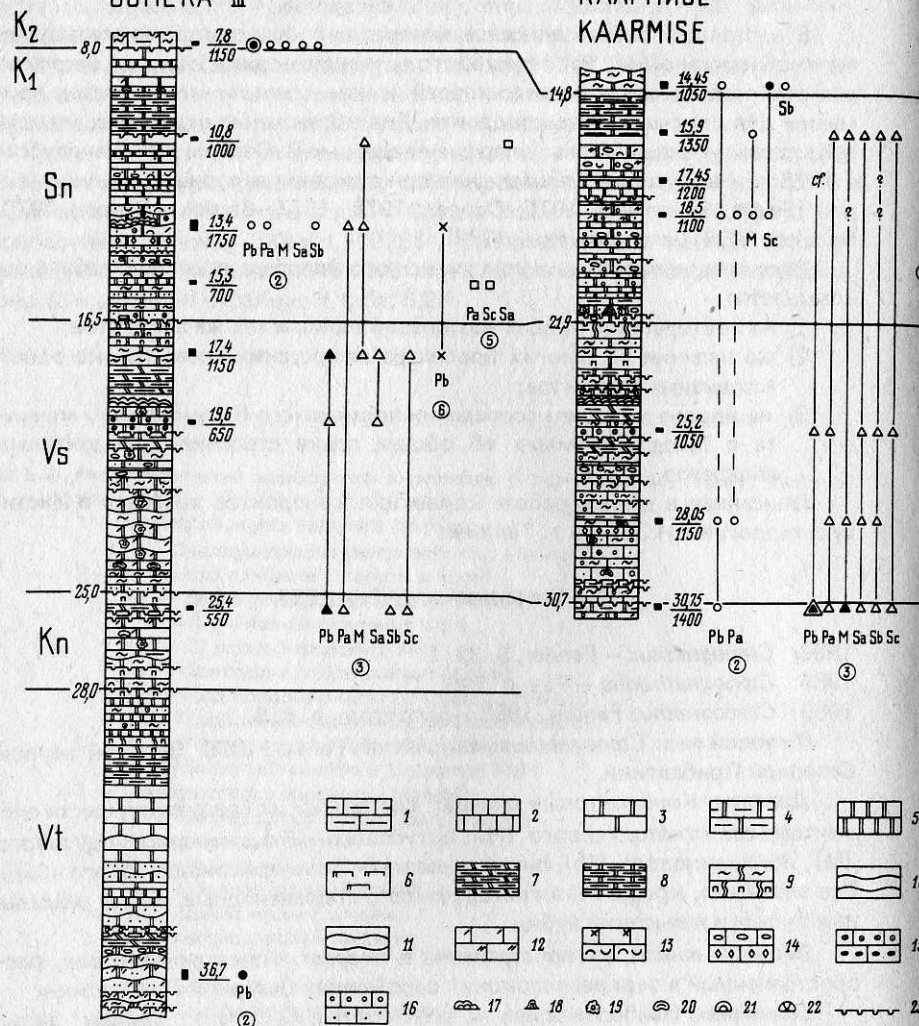
Видовой состав, распространение и возраст. Известен один вид, распространенный в верхневенлокских отложениях Северной Прибалтики.

Сравнение. Наиболее близким является род *Kockeella* Walliser sensu Barrick, Klapper, 1976, отличающийся только по кокеллевому элементу Pb (= Pa sensu Barrick, Klapper). От рода *Oulodus* Branson et Mehl sensu Sweet, Schönlaub, 1975 отличается элементами Pa и Pb, в то время как S-элементы у обоих родов аналогичны. Близким является *Ozarkodina* Branson et Mehl sensu Lindström, 1970, от которого *Ctenognathodus* отличается наличием ортусового элемента Pa вместо озаркодиннового. Остальные элементы имеют только морфологические отличия.

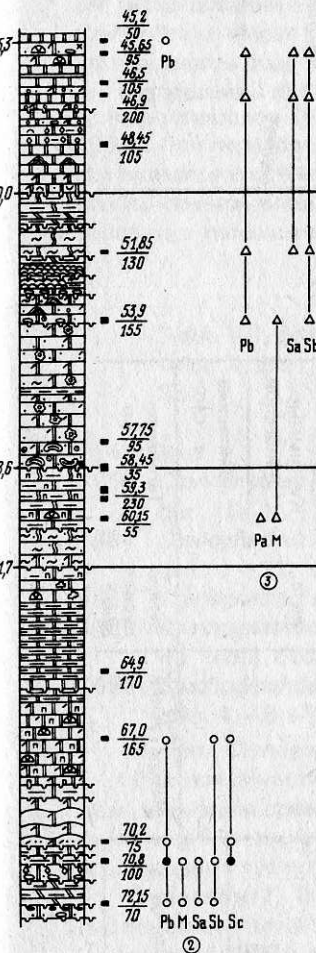
Замечания. Как установил Р. Фей (Fay, 1958, 1959), предложенное Х. Пандером родовое название *Ctenognathus* оказалось занятым в энтомологии, и поэтому он предложил новое название *Ctenognathodus*. Э. Брансон

СЫМЕРА III  
SÖMERA III

КААРМИЗЕ  
KAARMISE



КИНГИСЕПП  
KINGISSEPA



ЛАЙМЬЯЛА 515  
LAIMJALA 515

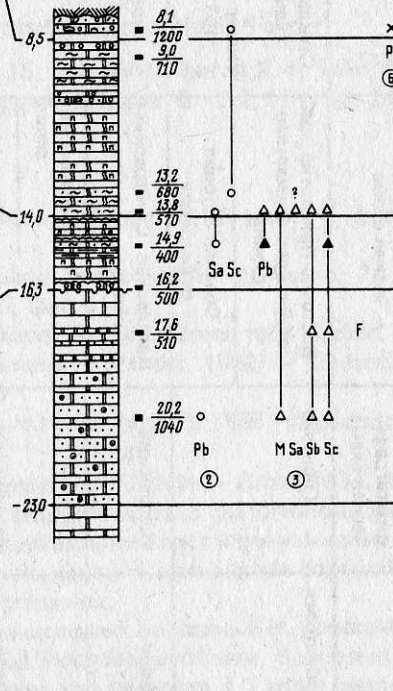


Рис. 5.3. Распространение конодонтов в разрезах скважин Сымера III, Каармизе, Кингисепп и Лаймъяла (515). Обозначения те же, что на рис. 5.2; дополнительно: 6 – Pb-элемент *Spathognathodus* sp. S, F – Pb-элемент *Spathognathodus aff. murchisoni*.

Условные обозначения. Текстуры: 1 – глинистый известняк, 2,5 – микрокристаллическая структура, 3 – доломит, 4 – глинистый доломит,

6 – известковый домерит, 7 – эвриптеровый доломит, 8 – глинистый доломит каармасского типа, 9 – узорчатый доломит, 10 – комковатая и 11 – среднекомковатая текстуры. Структуры: 12 – мелко- и крупнодетритовая, 13 – скопления детрита и биоморфная, 14 – конгломератовая и брекчевая, 15 – оолитовая, 16 – паммитовая и сгустковая. Другие обозначения: 17, 18 – пластовые и бугорчатые строматолиты, 19, 20 – онколиты, 21 – строматопоры, 22 – табулиты, 23 – поверхность перерыва.

Стратиграфическое положение зоны *C. murchisoni*  
Stratigraphical position of the *C. murchisoni* Zone

Стандартная стратиграфическая схема		Местная стратиграфическая схема		Конодонтовые зоны		Предлагаемая схема
Граптолитовая зона		Восточно-Прибалтийская структурно-фаунистическая зона		Стандартная схема		
Горизонт		Средняя Эстония о. Сааремаа	Пайдласская свита	Саувереские слои	Walliser 1964, 1971	Walliser 1964, 1971
<i>N. nilssoni</i>	<i>P. ludensis</i>	Роотсикульский	Роотси-юка-ская свита	Соэгининские слои Везикуские слои Кууснимес-кие слои Вийтаские слои	<i>sagitta</i>	<i>sagitta</i>
<i>RPyC</i>	<i>OTran</i>	<i>C. lundgreni</i>	Яагарахуский	Яагара-хуская свита	<i>C. murchisoni</i>	<i>C. murchisoni</i>
Benthon		Benthon		?		
Benthon <i>cntyp</i>		<i>Hinkkinni <i>cntyp</i></i>		?		

и М. Мэл не признали рода *Ctenognathus* Пандера, поскольку он был выявлен на фрагментарном материале разного возраста (Branson, Mehl, 1933) и установили на своем материале новый род *Spathodus* с типовым видом *S. primus*. Но название *Spathodus* оказалось также оккупированным и было замещено названием *Spathognathodus* (Branson, Mehl, 1941). В своем исследовании 1954 г. В. Гросс показал, что типовой вид рода *Ctenognathus* имеет четкую характеристику и тем самым подтвердил самостоятельность рода. Из этого заключения некоторые исследователи сделали совершенно противоречивые номенклатурные выводы относительно валидности родов *Spathognathodus* и *Ctenognathodus* (Fay, 1959; Ziegler, 1961). При переходе к мультиэлементной таксономии род *Spathognathodus* оказался в синонимике мультиириода *Ozarkodina*. Между тем *Ctenognathodus* кажется вполне подходящим родовым названием для выделяемого аппарата с типовым видом *C. murchisoni*.

*Ctenognathodus murchisoni* (Pander).

Табл. VII, фиг. 1 – 15; табл. VIII, фиг. 1, 2, 4; табл. IX, фиг. 1 – 12; табл. X, фиг. 1 – 8; рис. 5.4, фиг. 6 – 12, 17 – 30; рис. 5.6, фиг. 1 – 35.

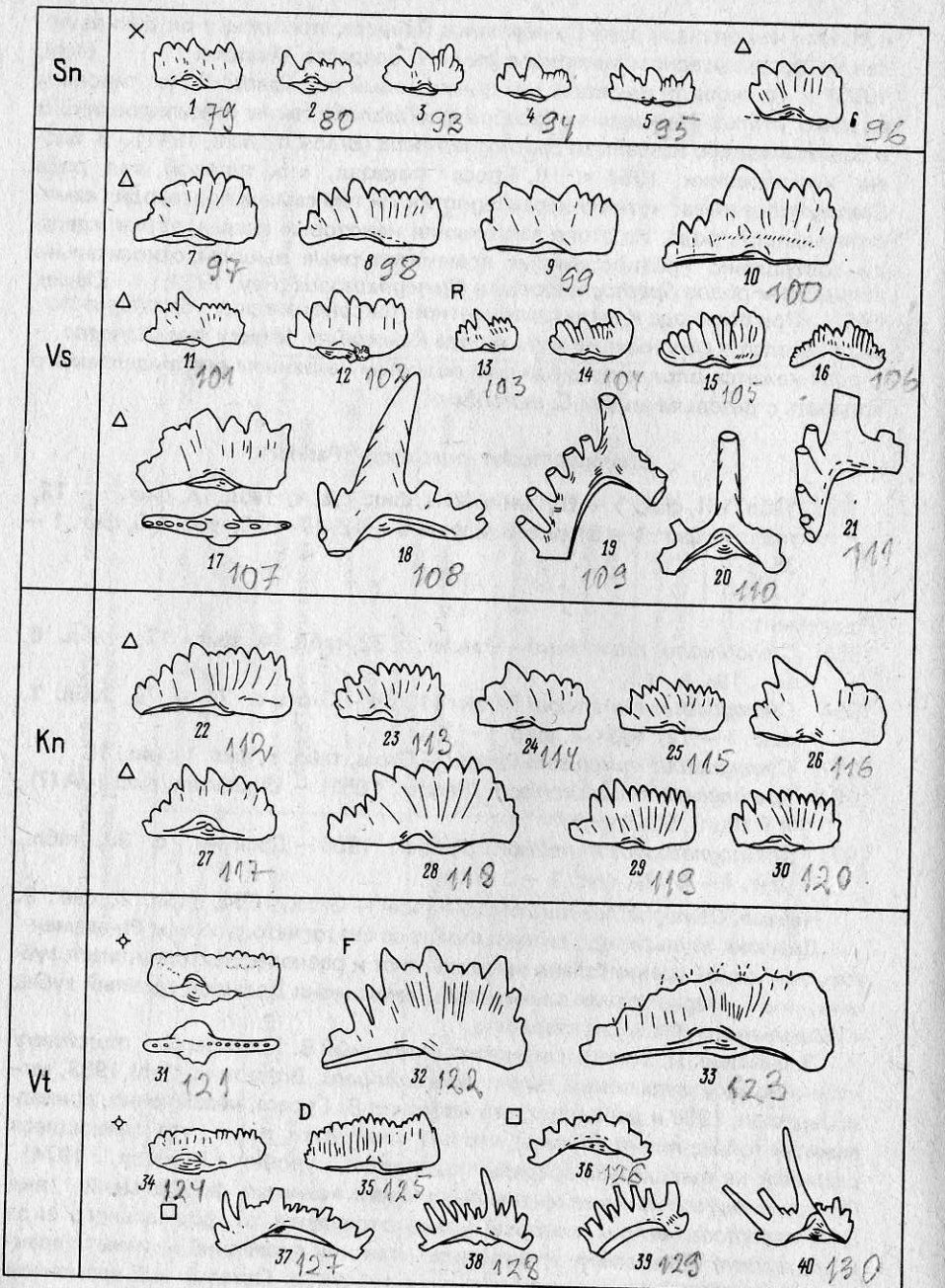
## Рb-элемент

- 1856 *Ctenognathus murchisoni* – Pander, с. 32, табл. 4, фиг. 17; табл. 6, фиг. 18а, б.  
 1954 *Ctenognathus murchisoni* Pander (1856) – Gross, с. 74 – 79, табл. 1, фиг. 1 – 12; табл. 2, фиг. 1 – 3  
 1957 *Ctenognathus murchisoni* Pander – Gross, табл. 8, фиг. 1; рис. 1С  
 1964 *Spathognathodus murchisoni* (Pander, 1856) – Lindström, рис. 14А (?), 4 F (non), 55а (non)  
 1971 *Spathognathodus murchisoni* (Pander), 1856 – Дрыгант, с. 80, табл., фиг. 4 – 6 (?), фиг. 1 – 3 (non)

Неотип. *Ctenognathus murchisoni* Pander – Gross, 1954, табл. 1, фиг. 9.

Диагноз. Мультивид *Ctenognathodus* со спатогнатодусовым Рb-элементом, имеющим сравнительно высокий лист и равномерные слившиеся зубчики, и с 5 стержневыми элементами, имеющими большой главный зубец и разделенные зубчики на стержнях.

Замечание. Л. Еппсон включает описанный В. Гросом *C. murchisoni* в синонимику мультивида *Hindeodella confluens*, Branson et Mehl 1933, sensu Jeppsson, 1969 и добавляет, что материал В. Гросса, несомненно, принадлежит к той же линии (lineage), что и *H. confluens* s. str., и что имеющиеся различия не выходят за пределы подвидового уровня (Jeppsson, 1974). Спатогнатодусовым элементом *H. confluens* является формальный вид *Spathognathodus primus*, который четко отличается от формального вида *C. murchisoni* (Рb-элемент мультивида), так как последний не имеет характерных для *S. primus* высоких передних зубчиков. Остальные 5 элементов мультивида *C. murchisoni* отличаются от таковых *H. confluens* также в основном по характеру зубчиков, которые у последнего являются слив-



шимися. По характеру зубчиков 5 стержневых элементов *C. murchisoni* до некоторой степени напоминают элементы *Ligonodina confluens* (Jeppsson, 1972).

Ортусовый элемент Pa описываемого вида близок к конодонту с формальным названием "*Ozarkodina*" *ziegleri tenuiramea* Wall., от которого отличается тем, что передний отросток всегда меньше заднего. От "*Ozarkodina*" *ortus* Wall. элемент Pa отличается меньшим базальным основанием, низким задним отростком и большим главным зубцом.

При изучении конодонтов скв. Охесааре (Вийра, 1970, 1977) элементы мультивида *Ctenognathodus* были определены по формальной таксономии следующим образом:

элемент Pb — *Spathognathodus murchisoni* (Pander),  
 Pa — *Ligonodina* sp. n. L,  
 Sa — *Trichonodella* sp. n. V,  
 Sb — *Lonchodina greilingi* Wall.,  
 Sc — *Ligonodina ex. gr. silurica* Branson et Mehl,  
 M — *Lonchodina* ? sp. n. N.

#### Описание

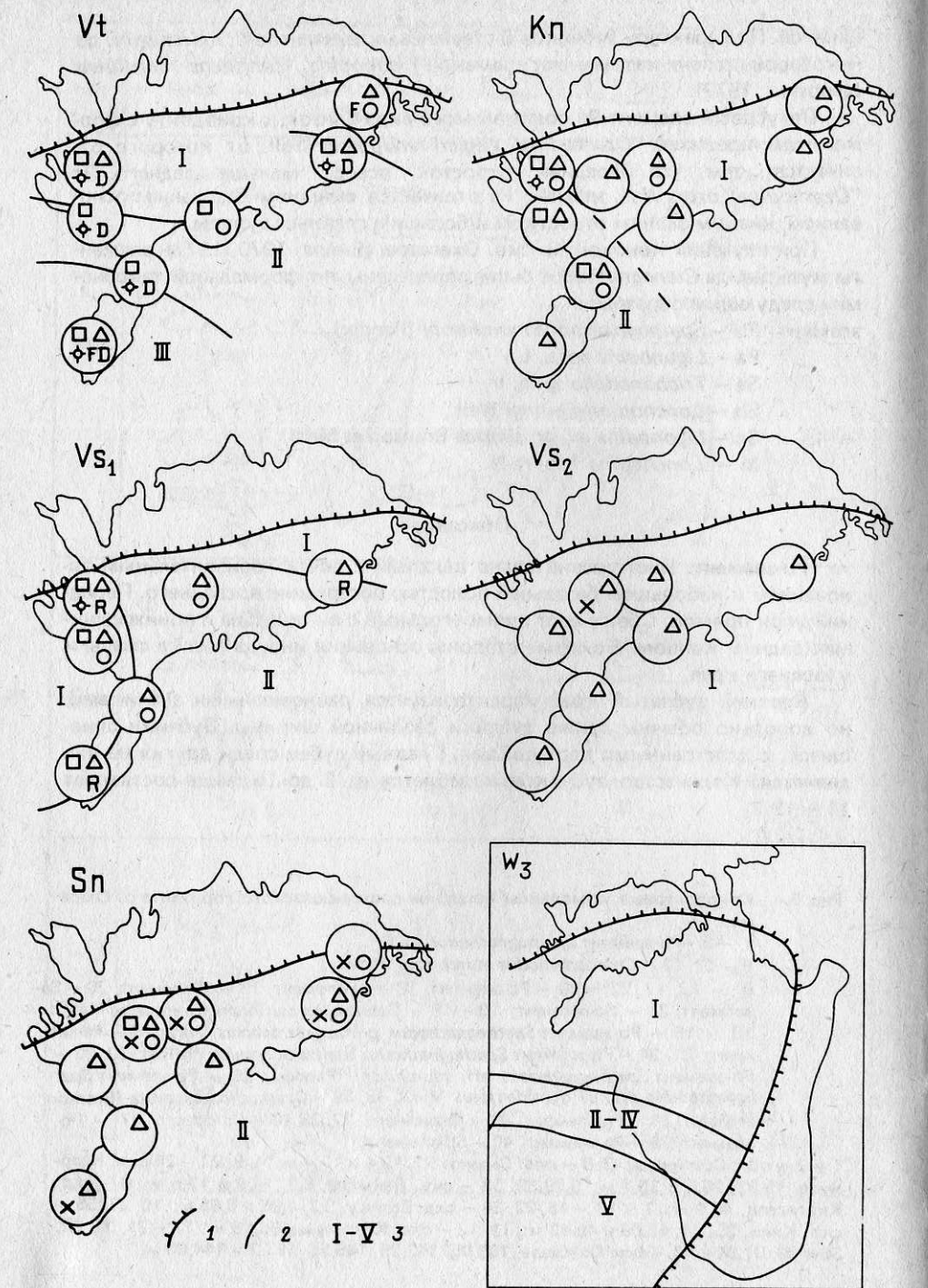
Pb-элемент. Лист сравнительно высокий с почти горизонтальным основанием и небольшой базальной полостью посередине последнего. Передний угол прямой. Сбоку лист прямоугольный с вытянутым и поникающимся задним концом. Боковые стороны основания иногда слегка сжаты и у нижнего края.

Верхний зубчатый край характеризуется равномерными зубчиками, но довольно обычны также зубчики различной ширины. Зубчики сливающиеся, с заостренными верхушками. Главный зубец среди других не выделяется. Количество зубчиков колеблется от 9 до 15, чаще составляет 11–12.

18–20

Рис. 5.4. Конодонтовые комплексы по слоям роотсикюласского горизонта о. Сааремаа:

- 1—5 — Pb-элемент *Spathognathodus* sp. S;  
 6—12, 17, 22—30 — Pb-элемент, 18 — Pa-элемент, 19 — M-элемент, 20 — Sa-элемент, 21 — Sc-элемент; 13—16 — *Ozarkodina confluens* (Branson et Mehl);  
 13—15 — Pb-элемент *Spathognathodus primus retroversus* Viira; 16 — Pa-элемент; 31, 34 — Pb-элемент *Spathognathodus sagitta bohemica* Walliser; 32, 33 — Pb-элемент *Spathognathodus aff. murchisoni* (Pander); 35 — Pb-элемент *Spathognathodus primus densidentatus* Viira; 36, 39 — *Ozarkodina excavata* (Branson et Mehl); 36 — Pb-элемент, 39 — M-элемент; 37, 38, 40 — *Oulodus*: 37 — Pb-элемент, 38 — Pa-элемент, 40 — Sb-элемент.  
 1—2 — обн. Созгинина; 3, 8 — скв. Сымера III, 13,4 и 17,4 м; 4, 9, 23—26 скв. Каармизе, 15,92, 25,2 и 30,7 м; 5, 29, 30, 33 — скв. Лаймяла, 8,1, 14,9 и 17,6 м; 6 — скв. Кингисепп, 46,9 м; 7 и 13—16, 22, 34 — скв. Везику, 3,2, 4,95 и 8,65 м; 10, 27, 35 — скв. Кипи, 35, 44, 42,09 и 48,43 м; 11, 12 — скв. Каугатума, 93,06 м; 17—21, 31, 32, 36 и 39, 37, 38 и 40 — скв. Охесааре, 133,05, 142,25, 145,55, 151,7 и 144,05 м.



Белое вещество распределяется в листе по осям зубчиков в различной степени, как это хорошо видно на фотографиях, которые снимались в спирте. У некоторых экземпляров наблюдаются зародышевые зубчики.

Базальная полость обычно расположена в середине листа, но у больших экземпляров иногда смещена вперед. Она имеет вид неглубокой округленной ямки, переходящей более резко в передний и более плавно в задний продольные желобки. Ушки базальной ямки сравнительно небольшие.

Базальное заполнение темно-бурого цвета, имеет форму весьма невысокой (почти плоской) воронки, вытянутой неравномерно в передне-заднем направлении. Базальное заполнение выдается в боковые стороны за пределы ушек базальной ямки.

**Р-элемент** с большим главным зубцом и раздельными зубчиками на коротких низких отростках. Главный зубец высокий (обычно длиннее отростков) и широкий, имеет наклон вбок и назад. В поперечном сечении зубец в различной степени плоско-овальный. Края острые, передний край часто килевидный.

Задний отросток длиннее переднего, но длина его не превышает высоты главного зубца. Передний отросток направлен вниз и вбок. Зубчики на отростках раздельные, с острыми верхушками. На заднем отростке обычно до 6 зубчиков неодинакового размера (наибольшим является предпоследний), на переднем отростке в среднем 3 – 5 зубчиков, более или менее одинаковых. Передние зубчики находятся на одной линии с передним ребром главного зубца. Зубчики заднего отростка имеют наклон назад, примерно одинаковый с главным зубом.

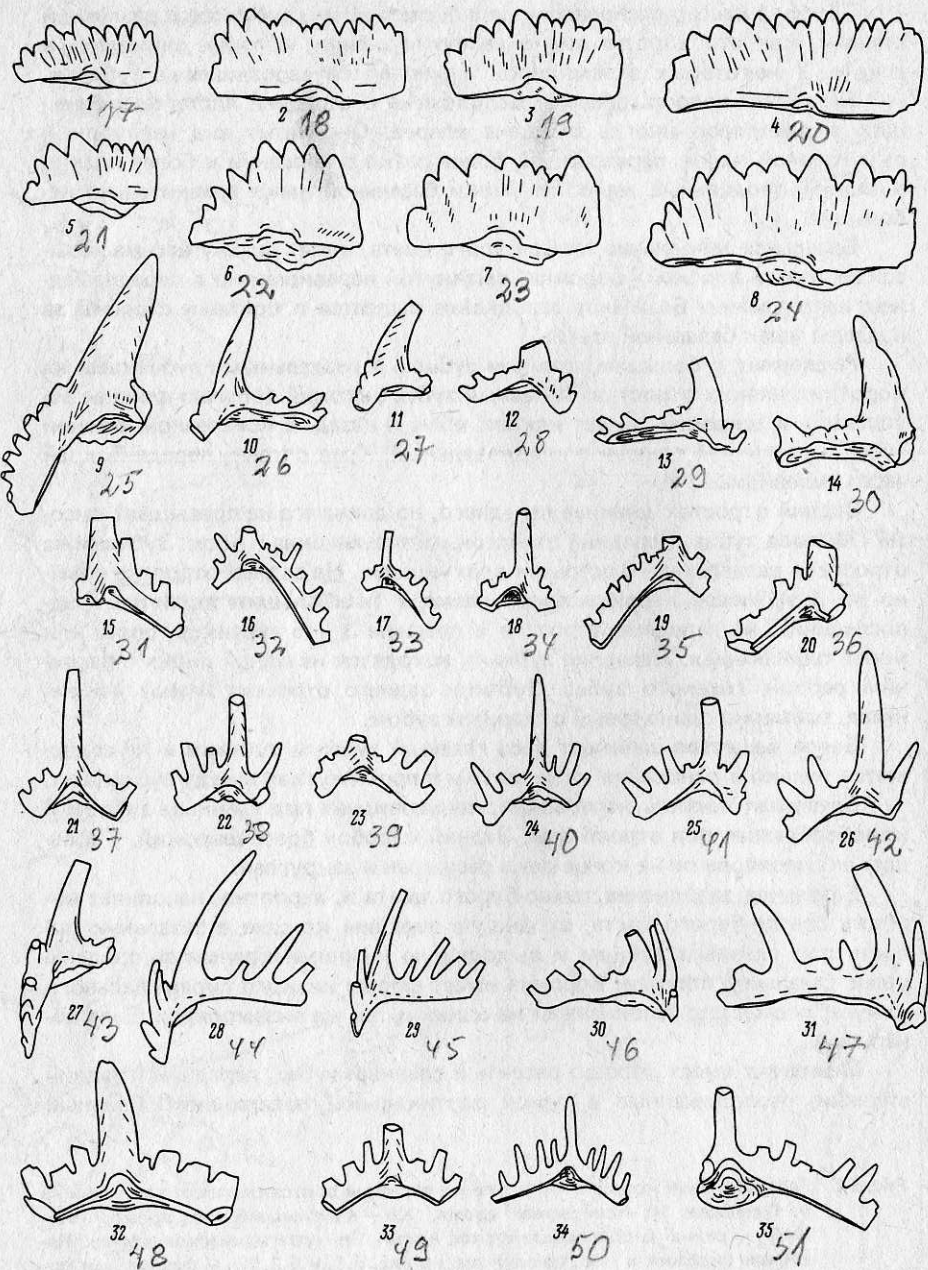
Белое вещество занимает весь главный зубец и зубчики и не содержит только в основании конодонта и в промежутках между зубчиками.

Базальная полость неглубокая, конусовидная под главным зубцом и желобообразная под отростками. Задний желобок более широкий, у больших экземпляров он на конце даже расширен и закруглен.

Базальное заполнение темно-бурого цвета и, вероятно, наполняет воронку светло-бурого цвета, входящую верхним концом в базальную полость под главным зубцом и выходящую нижними краями за пределы ушек базальной полости. Воронка имеет форму низкого пирамидального конуса, и вместе с заполнением на одних и тех же экземплярах была обнаружена.

**М-элемент** имеет хорошо развитый главный зубец, передний и задний стержни, расположенные в одной вертикальной поверхности. Главный

← Рис. 5.5 Распределение конодонтов в разные периоды роотсикюласского времени на о. Сааремаа: Vt – вийтаское время, Кп – куусыммское время, Vs<sub>1</sub> и Vs<sub>2</sub> – ранне- и поздневезикусское время, Sn – соэгининнасское время. Названия скважин и обозначения см. на рис. 5.1. и 5.2. W<sub>3</sub> – фациальная зональность позднего венлокса в районе о. Сааремаа и к югу от него. Упрощено по Р. Эйнесто (1979). 1 – граница современного распространения отложений, 2 – граница фациальных зон, 3 – фациальные зоны (I – лагунная, II – IV – нерасчлененно от отмелой до склоновой, V – депрессионная).



зубец высокий, повернутый слегка во внутреннюю — заднюю сторону. Поперечное сечение зубца от неправильно округленного до овального. Передний и задний края зубца от округленных до острых. Внешняя боковая поверхность зубца полого-округленная, внутренняя — выпукло-округленная. На имеющихся в нашей коллекции экземплярах главный зубец обычно обломан.

Задний стержень длинный, с раздельными зубчиками. Он отходит от основания заднего края главного зубца назад и вниз, под углом примерно  $130^{\circ}$  к этому зубцу. Количество зубчиков на заднем стержне составляет обычно 6 — 8. Зубчики в поперечном сечении округленные или овальные, как и на переднем стержне. Передний стержень значительно короче заднего, направлен от главного зубца вперед и вниз. Этот стержень имеет до 4-х зубчиков, также раздельных. При виде сбоку передний и задний стержни расположены под углом  $90^{\circ}$  или больше. Нижний край основания под главным зубцом имеет на внутренней стороне расширение (вздутость) над базальной полостью, которое резко понижается в переднюю сторону и полого в заднюю.

Белое вещество занимает главный зубец и зубчики, оставляя свободными нижнюю часть основания и промежутки между зубцами.

Базальная полость — это мелкая конусовидная ямка под главным зубцом и неглубокие борозды под стержнями. Задняя борозда, постепенно сужаясь, достигает конца заднего стержня, а передняя сужается более резко и не доходит до конца переднего стержня.

Базальное заполнение имеет темно-бурый цвет и содержится только в конусовидной ямке под главным зубцом.

За-элемент с умеренно высоким главным зубцом и длинными боковыми стержнями, симметрично расходящимися от главного зубца под углом  $130^{\circ}$  друг к другу. Главный зубец несколько наклонен назад. Он имеет овально-округленное поперечное сечение и более выпуклую, по сравнению с передней заднюю сторону. Боковые края зубца в большей или меньшей степени заострены.

Боковые стержни длинные, концы загибаются назад и вниз. Зубчики на стержнях раздельные, довольно высокие, вертикальные. Их насчитывается до 7, но может быть и больше, так как у крупных экземпляров концы стержней обломаны.

Белое вещество заполняет главный зубец и зубчики, занимая также верхнюю часть основания под зубчиками.

← Рис. 5.6. *Stenognathodus murchisoni* (Pander):

- 1 — 8 — спатогнатодусовый элемент Pb,
  - 9 — 14 — ортусовский элемент Ra,
  - 15 — 20 — неоприонкодусовый элемент M,
  - 21 — 26 — лонхидиновый элемент Sb,
  - 27 — 31 — лигонодиновый элемент Sc,
  - 32 — 35 — трихонделловый элемент Sa.
- Все экземпляры из обн. Везику.

**Базальная полость неглубокая.** Наиболее глубокая её часть расположена под главным зубцом в виде неправильно-треугольного конуса, который переходит по бокам из узких желобков в боковые стержни.

Наблюдается базальное заполнение в виде воронки, выходящей своими краями за пределы базальной полости, и в виде темно-бурого заполнения под главным зубцом.

**Sb-элемент** имеет высокий хорошо развитый главный зубец и два боковых стержня, расположенных несимметрично по обе стороны от зубца. Главный зубец высокий, слегка наклонен назад и вбок. Поперечное сечение несимметрично и имеет овально-округленную форму. С задней стороны основание конодонта под главным зубцом несимметрично выпуклое, более резко выпуклое с одной и более пологое с другой стороны. Передний и задний края зубца в различной мере заострены.

Боковые стержни сравнительно короткие и отличаются по своей длине от главного зубца. Главный зубец наклонен в сторону более длинного стержня. Зубчики на стержнях раздельные, высокие, с округленно-овальным сечением. Количество зубчиков доходит до 5 на более длинном стержне, на коротком стержне обычно на один зубчик меньше.

Белое вещество заполняет главный зубец и зубчики, а часто также верхнюю часть основания под зубчиками.

**Базальная полость** представляет собой низкое несимметричное конусидное углубление под главным зубцом, которое переходит в виде желобков в боковые стержни.

Базальное заполнение темно-бурое, базальная воронка светло-бурая. У одного экземпляра они наблюдаются вместе: заполнение находится в середине воронки, которая в свою очередь помещается в базальной полости.

**Sc-элемент** имеет высокий главный зубец и различной длины передний и задний стержни. Главный зубец своей внутренней боковой стороной повернут назад. В поперечном сечении зубец овально-округленный, с слегка заостренными передним и задним краями.

От основания заднего края главного зубца отходит задний стержень, который несет 6 и больше раздельных зубчиков, наклоненных назад примерно параллельно главному зубцу. Самые большие зубчики находятся ближе к заднему концу. От основания переднего края главного зубца начинается передний стержень, направленный вбок и вниз и образующий с задним стержнем почти прямой угол. Передний стержень короче заднего, имеет максимально 6 зубчиков, высоких, тонких раздельно расположенных. Эти зубчики наклонены своей верхней частью дугообразно назад, при этом наибольший из них иногда почти достигает высоты главного зубца и находится в середине стержня (обычно 3-й от главного зубца).

Белое вещество занимает главный зубец и зубчики.

Базальная полость представляет собой неглубокую ямку под главным зубцом и узкие желобки под стержнями. В редких случаях сохранилось темно-бурое базальное заполнение и более светлая воронка.

**Изменчивость.** Связана в основном с различными размерами. У спатогнатодусового Pb-элемента крайние большие и маленькие экземпляры

весьма отличаются, но при большом материале имеется полный диапазон перехода. Неравномерность зубчиков у маленьких экземпляров постепенно через средние переходит в равномерные зубчики у крупных экземпляров. Так же меняется длина листа от более коротких маленьких к более вытянутым в передне-заднем направлении крупным экземплярам. У стержневых элементов (Ra, M, Sb, Sc, Sa) маленькие экземпляры тонкие, нежные, с расположенным далеко друг от друга зубчиками. Чем крупнее экземпляры, тем они становятся толще, грубее, с более округленными зубчиками (в сечении) на более широких стержнях.

Кроме того, изменчивость выражается в различной степени несимметричности. Так, некоторые экземпляры несимметричных элементов M и Sb приближаются к симметричному элементу Sa. Также наблюдается связь маленьких экземпляров Sc с элементом Pb.

**Геологический возраст и распространение.** Биозона *Ctenognathodus murchisoni*, роотсикюласский горизонт о. Сааремаа.

**Материал.** Сотни экземпляров обн. Вийта, Кууснымме, Эльда, Везику, Лаази, Соэгинина; скв. Охесааре, Везику (507), Кипи, Каугатума, Сымера III, Каармизе, Кингисепп, Сакла, Лаймъяла.

ТАБЛИЦА IX

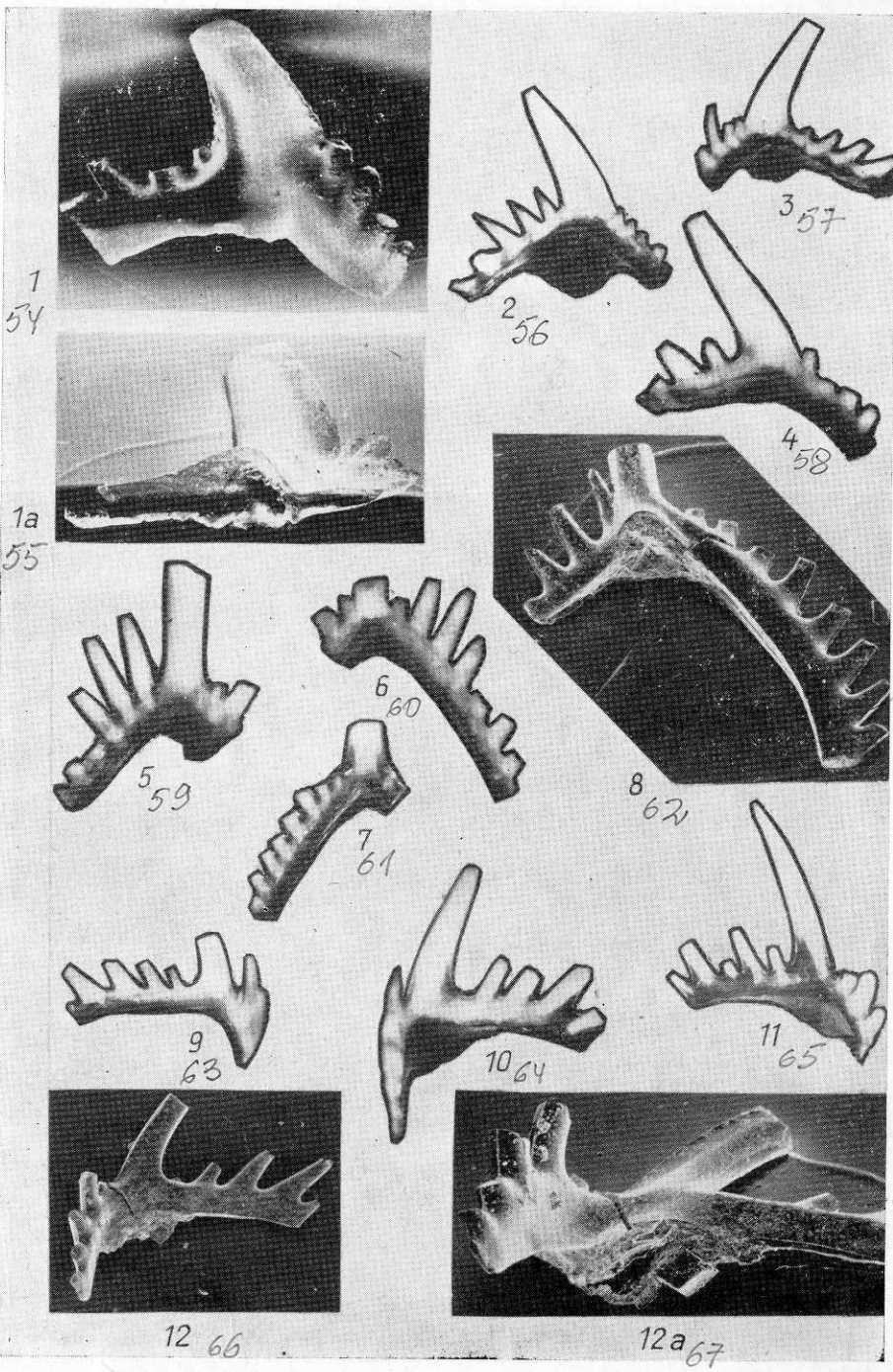
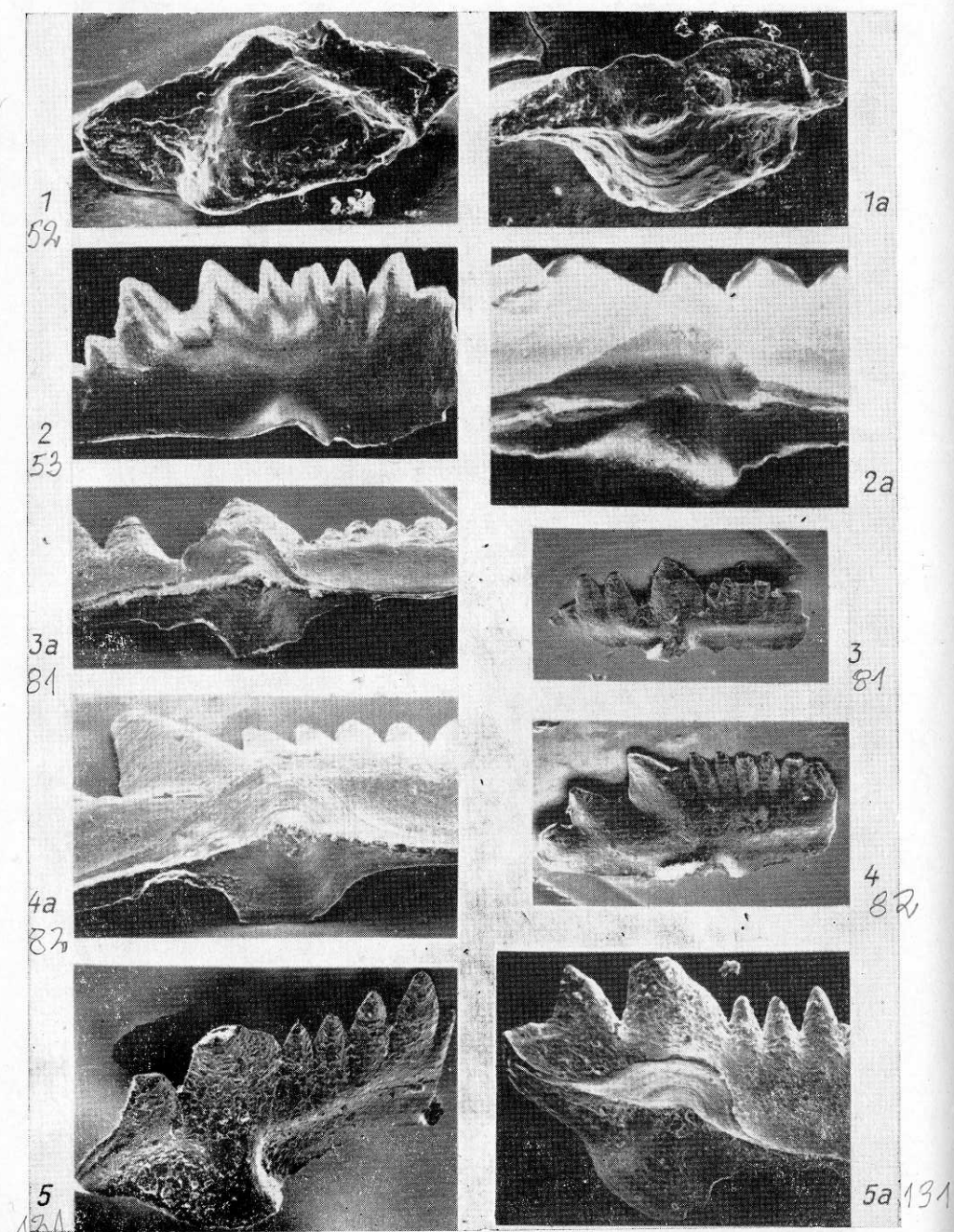


ТАБЛИЦА VIII



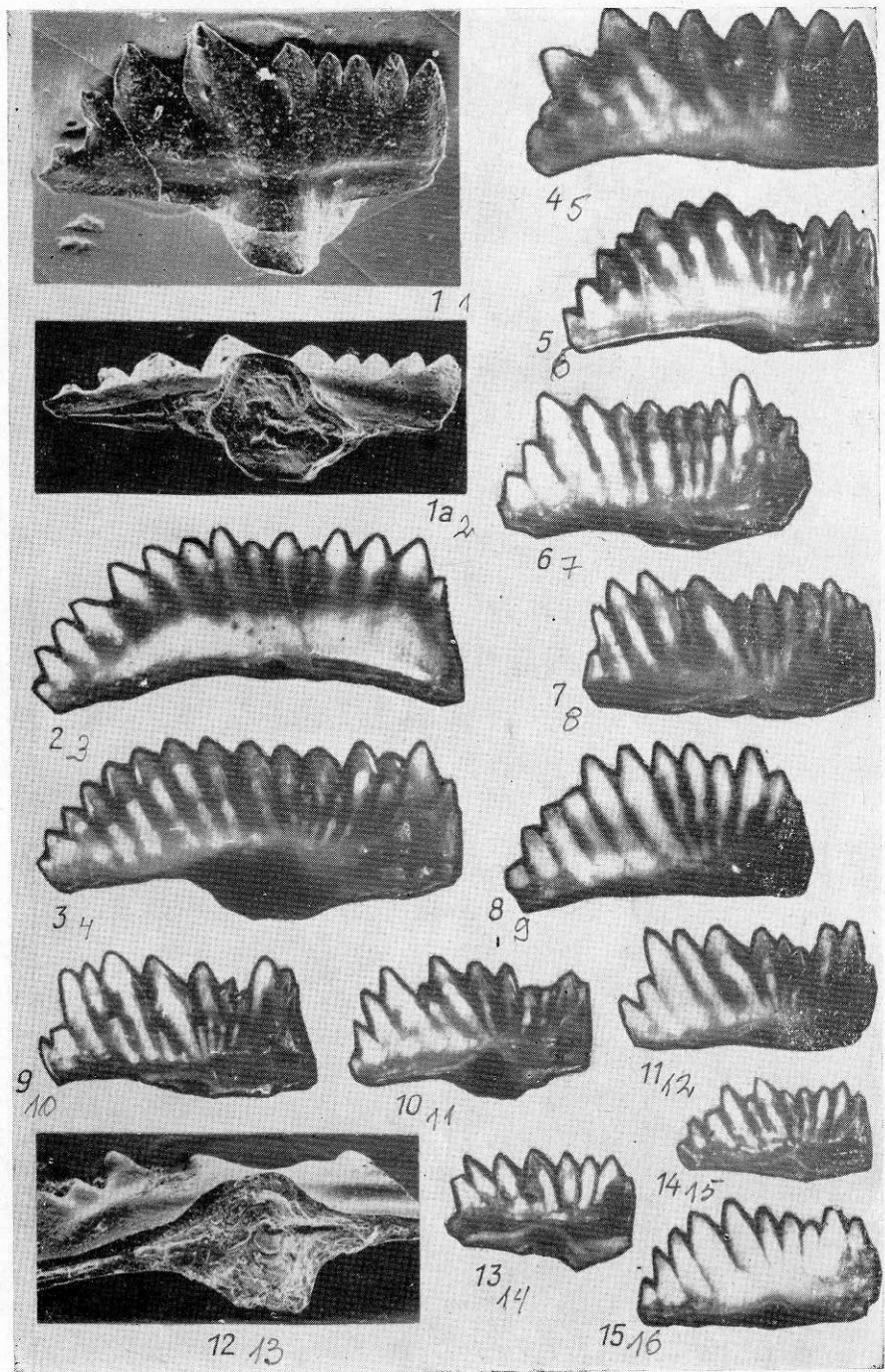


ТАБЛИЦА X

